

Московский государственный университет имени М. В. Ломоносова Факультет вычислительной математики и кибернетики Кафедра суперкомпьютеров и квантовой информатики

Кулагин Алексей Владимирович

Переход сложных квантовых состояний между полостями в модели Тависа-Каммингса-Хаббарда

МАГИСТЕРСКАЯ ДИССЕРТАЦИЯ

Научный руководитель: д.ф.-м.н., профессор Ю. И. Ожигов

Содержание

1	Введение	2
2	Постановка задачи	3
3	Модель Тависа-Каммингса	4
	3.1 Ансамблевые осцилляции	5
	3.2 Осцилляции с накачкой фотонов	6
	3.3 Осцилляции произвольных ансамблевых состояний	8
	3.4 Осцилляции без накачки фотонов	9
	3.5 Зависимость качества осцилляций от числа атомов и силы взаи-	
	модействия с полем	11
4	Модель Тависа-Каммингса для неидеальной полости	16
	4.1 Осцилляции с утечкой фотонов из полости	17
5	Модель Тависа-Каммингса-Хаббарда	18
6	Ансамблевые осцилляции между полостями	19
7	Заключение	21
8	Приложение	22

1 Введение

Конечномерная модель квантовой электродинамики Тависа-Каммингса описывает взаимодействие ансамбля двухуровневых атомов, помещенных в оптический резонатор, с одномодовым полем частоты, близкой к собственной частоте резонатора. Однако такие модели могут иметь и гораздо более широкое применение в силу их простоты: например, в их рамках можно описывать переход атомных возбуждений по системе оптических полостей, соединенных оптическим волокном (модель Тависа-Каммингса-Хаббарда), проводимость таких систем и связанные с ней эффекты (квантовое бутылочное горлышко, DAT) или квантовые блуждания на графах.

Для слабой связи атомов с полем справедливо приближение RWA (вращающейся волны), которое позволяет либо решить задачу аналитически (в случае одного атома) или существенно упростить компьютерное моделирование квантовой динамики - для случая нескольких атомов. Для RWA приближения пространство квантовых состояний системы распадается на сумму ортогональных подпространств, инвариантных относительно гамильтониана, и обладающих, к тому же, относительно малой размерностью, которая, в случае одинаковой силы взаимодействия поля и атомов, растет линейно с их числом. В случае же различных сил взаимодействия этот рост становится экспоненциальным, что обусловливает необходимость применения суперкомпьютеров для установления характера квантовой динамики для больших ансамблей.

В данной работе исследуется важный тип динамики — осцилляции между возбужденным состоянием атомного ансамбля и поля, при которых вся энергия системы переходит от атомов к полю и обратно с большой амплитудой. В многоатомном ансамбле имеется множество состояний, по которым амплитуда распределяется в ходе процесса, так что концентрация амплитуды на строго неравновесных состояниях не является очевидной и не может быть непосредственно выведена из вида гамильтониана. Само существование таких осцилляций не следует непосредственно из подобных осцилляций Раби для одного атома. В случае сложных систем такие осцилляции могут быть проанализированы только в результате численного компьютерного и суперкомпьютерного моделирования.

2 Постановка задачи

В настоящей работе рассматривается динамика квантовых состояний ансамбля двухуровневых атомов и одномодового поля в резонаторе в рамках модели Тависа-Каммингса в RWA приближении с шумами, а также в рамках модели Тависа-Каммингса-Хаббарда для случая двух взаимодействующих полостей.

Предметом исследования являются

- изучение характера осцилляций между двумя группами атомов одинаковой численности и одинаковой силы взаимодействия с полем
- изучение влияния фотонной накачки на качество и резкость ансамблевых осцилляций
- выявление зависимости периода осцилляций от числа атомов в группе, коэффициента взаимодействия атомов с полем, а также первоначального числа фотонов в полости резонатора
- возможность получения осцилляций хорошего качества для многоатомных ансамблей в условиях слабого взаимодействия атомов с полем
- исследование эффекта квантового "эха": перехода состояния атомов из одной полости в другую и возврат этого состояния в первоначальную полость. В частности, нахождение условий возникновения осцилляций атомных групп, распределенных между полостями

3 Модель Тависа-Каммингса

Рассмотрим N двухуровневых атомов, взаимодействующих с модой электромагнитного поля в идеальном резонаторе.

Атомы взаимодействуют с электромагнитным полем полости, испуская или поглощая фотон. При поглощении фотона атом возбуждается, при испускании – переходит в основное состояние.

Обозначим: $|0\rangle$ — основное состояние,

 $|1\rangle$ — возбужденное состояние атома.

Введем также следующие операторы:

 a^+, a^- операторы рождения и уничтожения фотонов резонаторной моды, σ_i^+, σ_i^- повышающий и понижающий операторы i-ro атома.

$$a^+|n\rangle = \sqrt{n+1} |n+1\rangle$$
 $\sigma^+|0\rangle = |1\rangle$ $\sigma^+|1\rangle = 0$ $a|n\rangle = \sqrt{n} |n-1\rangle$ $\sigma|1\rangle = |0\rangle$ $\sigma|0\rangle = 0$

В представлении взаимодействия такая система описывается гамильтонианом Тависа-Каммингса:

$$H_{TC} = \underbrace{hw_c \ a^+ a}_{H_{field}} + \underbrace{hw_a \sum_{i=1}^{N} \sigma_i^+ \sigma_i}_{H_{atoms}} + \underbrace{\sum_{i=1}^{N} g_i (\sigma_i^+ + \sigma_i) (a^+ + a)}_{H_{int}}$$
(1)

h — постоянная Планка

 w_c — частота фотонов в полости

 w_a — частота атомного перехода

 g_i — константа взаимодействия i-го двухуровневого атома с полем

 $|w_c - w_a| \ll w_c + w_a$ (условие применимости модели ТС)

Пренебрегая членами σ^+a^+ и σa , не сохраняющими энергию, перепишем гамильтониан в следующем виде:

$$H_{TC} \approx H_{RWA} = \underbrace{hw_c \ a^+ a}_{H_{field}} + \underbrace{hw_a \sum_{i=1}^{N} \sigma_i^+ \sigma_i}_{H_{atoms}} + \underbrace{\sum_{i=1}^{N} g_i (\sigma_i^+ a + \sigma_i a^+)}_{H_{int}}$$
(2)

Приближение (2) называется npubnuжeнием вращающейся волны (rotating wave approximation), или RWA, и имеет место при условии

$$\frac{g_i}{hw_c} \approx \frac{g_i}{hw_a} \ll 1 \quad \forall \ i = \overline{1, N}. \tag{3}$$

3.1 Ансамблевые осцилляции

Пусть ансамбль двухуровневых атомов разделен на две равные половины A_1 и A_2 с номерами 1, 2, ..., n и n+1, n+2, ..., 2n соответственно и первоначально в полости находится m фотонов ("накачка").

Рассмотрим два состояния

$$|\Psi_0\rangle = |m\rangle_{ph}|00\dots0\rangle_{A_1}|11\dots1\rangle_{A_2}, \quad |\Psi_1\rangle = |m\rangle_{ph}|11\dots1\rangle_{A_1}|00\dots0\rangle_{A_2}$$
 (4)

Переходы между этими состояниями в ходе унитарной эволюции называются ансамблевыми осцилляциями. Качество таких осцилляций определяется естественным образом с помощью функций $f_0(t) = |\langle \Psi_0 | \Psi(t) \rangle|^2, \ f_1(t) = |\langle \Psi_1 | \Psi(t) \rangle|^2,$ равных вероятности получения данных состояний при измерении текущего состояния $|\Psi(t)\rangle$ системы в момент времени t. В случае неунитарной эволюции смешанного состояния $\rho(t)$ вместо функций $f_0, \ f_1$ надлежит использовать функции согласованности $F_0(t) = Tr \left[\sqrt{\sqrt{\rho_0}} \ \rho(t) \ \sqrt{\rho_0} \right]$ и $F_1(t) = Tr \left[\sqrt{\sqrt{\rho_1}} \ \rho(t) \ \sqrt{\rho_1} \right]$ соответственно, где $\rho_0 = |\Psi_0\rangle\langle\Psi_0|, \ \rho_1 = |\Psi_1\rangle\langle\Psi_1|.$

Периодический повтор во времени состояний с близкими к единице показателями качества является критерием наличия ансамблевых осцилляций. Такие точки мы называем пиковыми. Важна также резкость осцилляций: скорость изменения функции качества в окрестности пиковых точек. Из вида гамильтониана TC вытекает, что вектор чистого состояния при унитарной эволюции меняется в пределах подпространства \mathcal{H}_0 , порожденного базисными состояниями вида $|c\rangle_{ph}|s_1\rangle_{A_1}|s_2\rangle_{A_2}$, такими что $c+\nu(s_1)+\nu(s_2)=n$. Его размерность $dim(\mathcal{H}_0)$ растет экспоненциально от n, и потому само существование ансамблевых осцилляций, в отличие от осцилляций Раби, является совершенно не тривиальным фактом.

Введем состояние $\{i \succeq_{at} = \frac{1}{\sqrt{C_n^i}} \sum_{j: \ \nu(j)=i} |j\rangle$, где $\nu(j)$ – вес Хэмминга двоичного кортежа $|j\rangle$, равный числу возбуждений i в атомной группе.

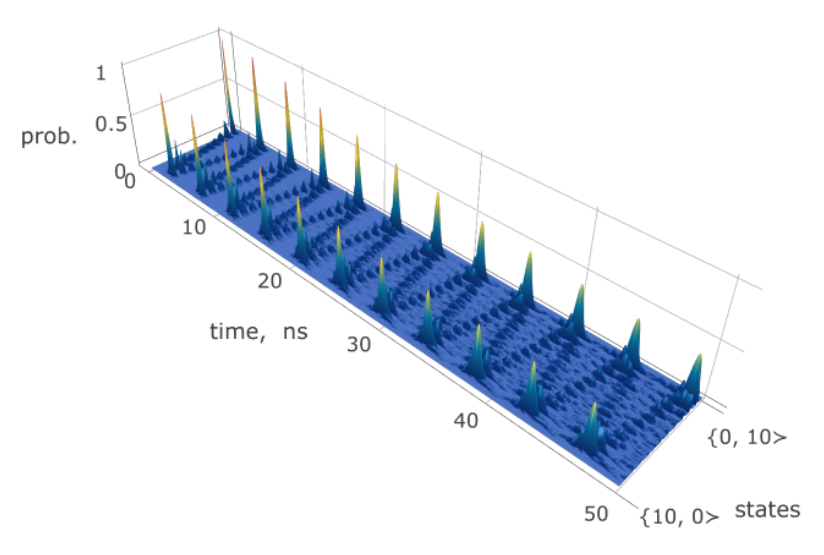
В дальнейшем мы будем рассматривать квантовую динамику в приближении RWA состояний вида $|\Psi_0\rangle = |m\rangle_{ph}|00\dots0\rangle_{A_1}|11\dots1\rangle_{A_2}$ в базисе $|m\rangle_{ph}\{i,j\succ_{at}: |m\rangle_{ph}$ – начальное фоковское (либо вакуумное) состояние поля, $\{i,j\succ_{at}=\{i\succ_{A_1}\{j\succ_{A_2}\ -\ \text{состояние}\ (\text{энергия}\ \text{возбуждения})\ \text{атомных групп}\ A_1,A_2.$

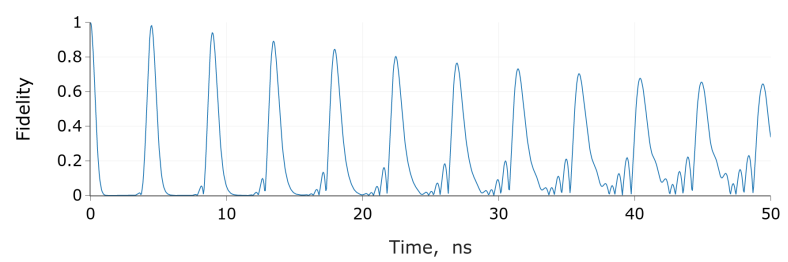
На вертикальной оси отложена вероятность p(t) получения состояния $\{i,j \succeq_{at}$ в момент времени t, на горизонтальных – рассматриваемый временной интервал и базисные состояния системы $(|\Psi_0\rangle$ и $|\Psi_1\rangle$ – в крайних точках оси).

3.2 Осцилляции с накачкой фотонов

n = 10 10 фотонов в полости

 $w_c = 21.506 \text{ GHz}$ $w_a = 21.506 \text{ GHz}$ $g/w_c = 0.01$





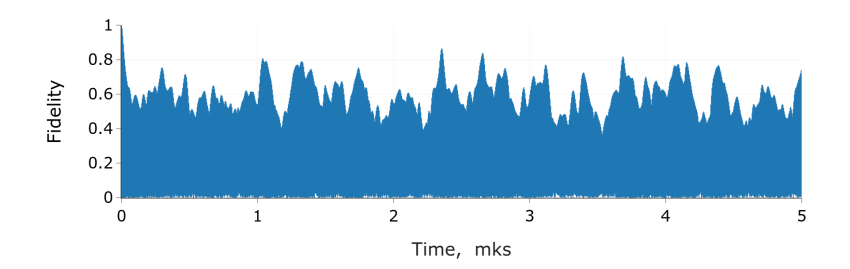
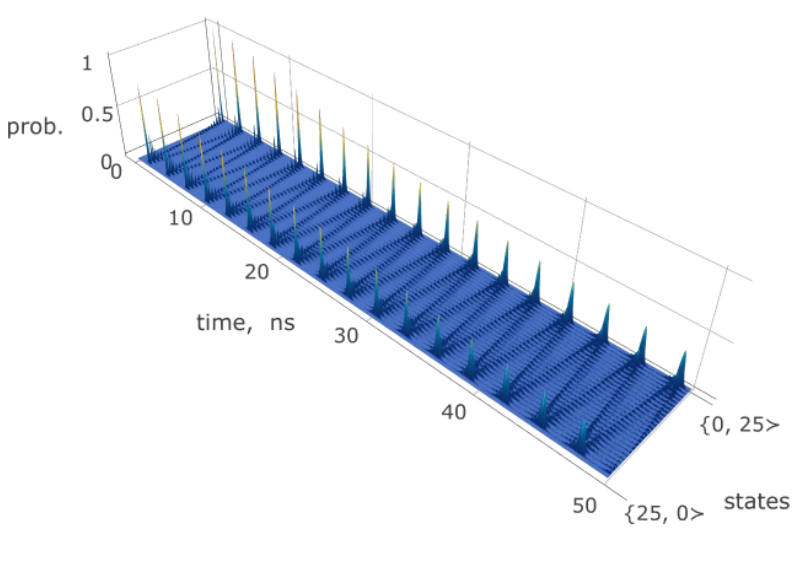


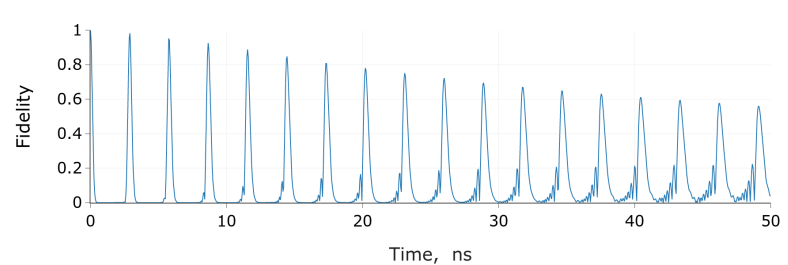
Рис. 1:
$$|\Psi_0\rangle=|10\rangle_{ph}\{0\succ_{A_1}\{10\succ_{A_2}$$
 (начальное состояние) $|\Psi_1\rangle=|10\rangle_{ph}\{10\succ_{A_1}\{0\succ_{A_2}$

высокое качество осцилляций, доходящее до 0.8

n = 25 25 фотонов в полости

 $w_c = 21.506 \text{ GHz}$ $w_a = 21.506 \text{ GHz}$ $g/w_c = 0.01$





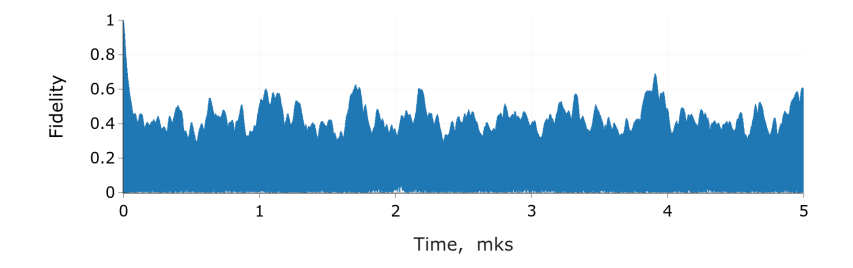


Рис. 2: $|\Psi_0\rangle=|25\rangle_{ph}\{0\succ_{A_1}\{25\succ_{A_2}$ (начальное состояние) $|\Psi_1\rangle=|25\rangle_{ph}\{25\succ_{A_1}\{0\succ_{A_2}$

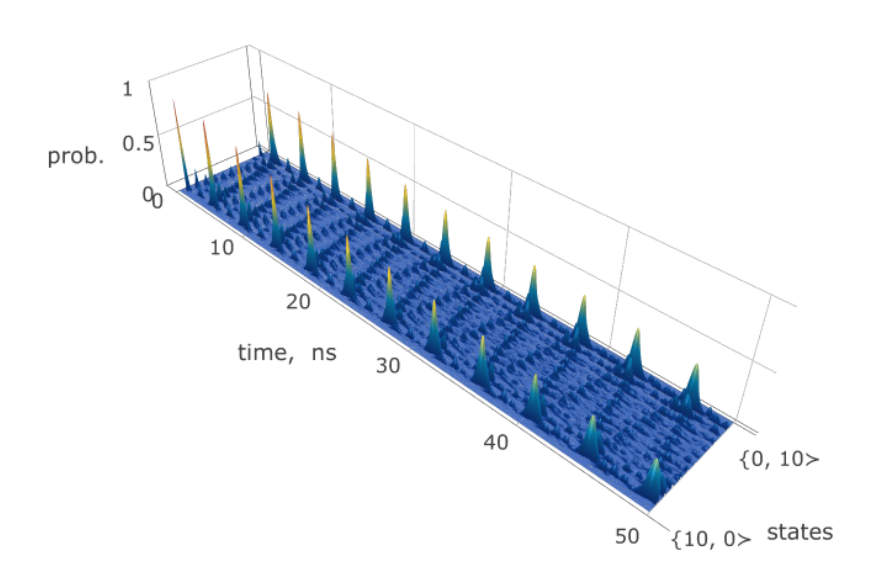
качество осцилляций в пределах 0.4-0.6; очень отчетливый и резкий характер

3.3 Осцилляции произвольных ансамблевых состояний

Ансамблевые состояния вида $\alpha|00\dots0\rangle_{A_1}|11\dots1\rangle_{A_2}+\beta|11\dots1\rangle_{A_1}|00\dots0\rangle_{A_2}$ дают осцилляции хорошего качества в условиях фотонной накачки.

n = 10 10 фотонов в полости

 $w_c = 21.506 \text{ GHz}$ $w_a = 21.506 \text{ GHz}$ $g/w_c = 0.01$



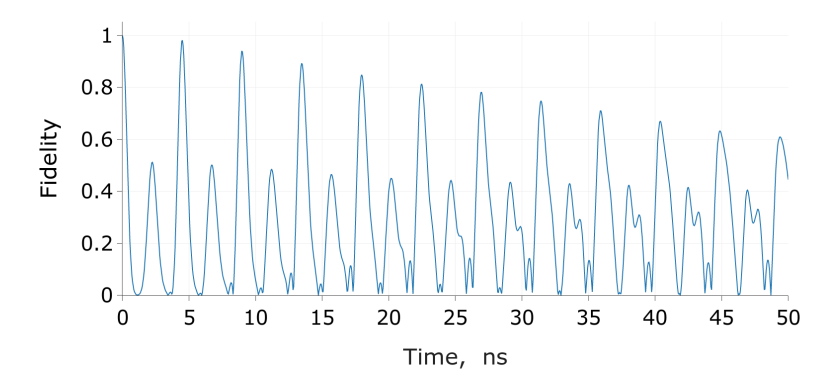


Рис. 3:
$$|\Psi_0\rangle = |10\rangle_{ph} \otimes (\alpha\{0\succ_{A_1}\{10\succ_{A_2}+\beta\{10\succ_{A_1}\{0\succ_{A_2})\}\}))$$

 $\alpha = 0.293 + 0.245 \ i, \quad \beta = 0.204 + 0.901 \ i$

3.4 Осцилляции без накачки фотонов

Моделирование квантовой динамики состояний вида $|\Psi_0\rangle = |vac\rangle_{ph}\{0, n \succeq_{at}: |vac\rangle_{ph}$ – начальное вакуумное состояние поля,

$$\{i,j\succ_{at}=\{i\succ_{A_1}\{j\succ_{A_2}$$
 – состояние атомных групп $A_1,A_2.$

n = 5 $w_c = 21.506 \text{ GHz}$ $w_a = 21.506 \text{ GHz}$ $g/w_c = 0.01$

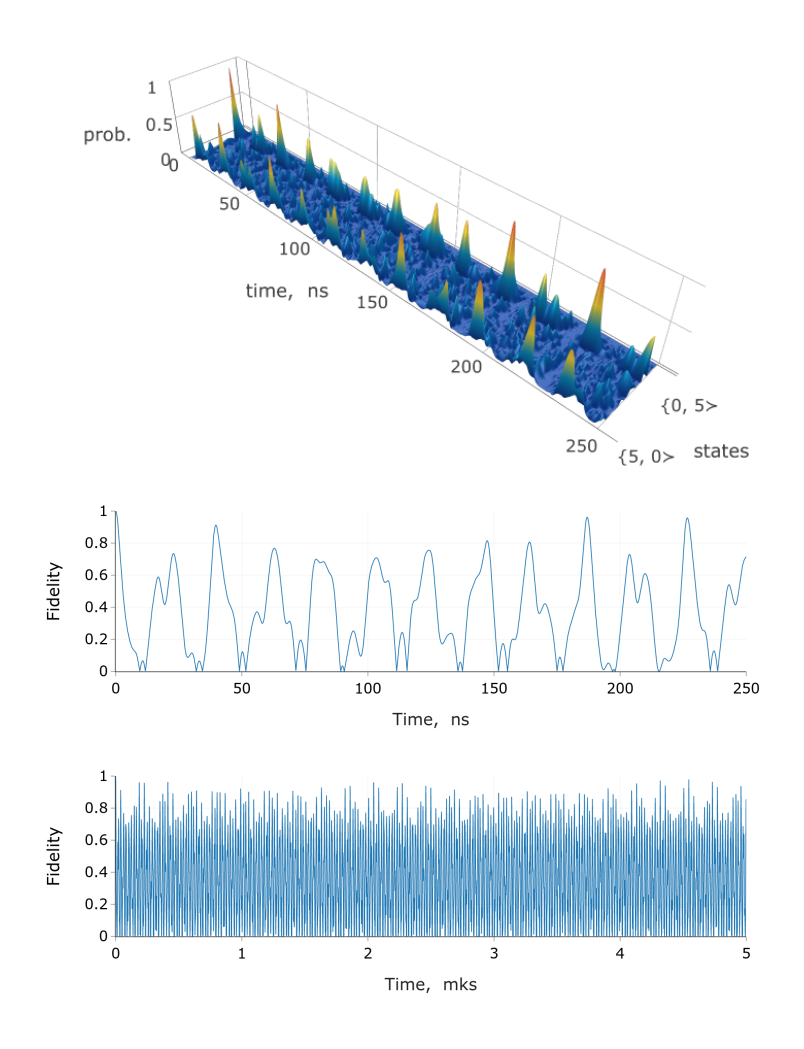
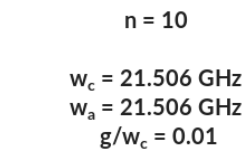
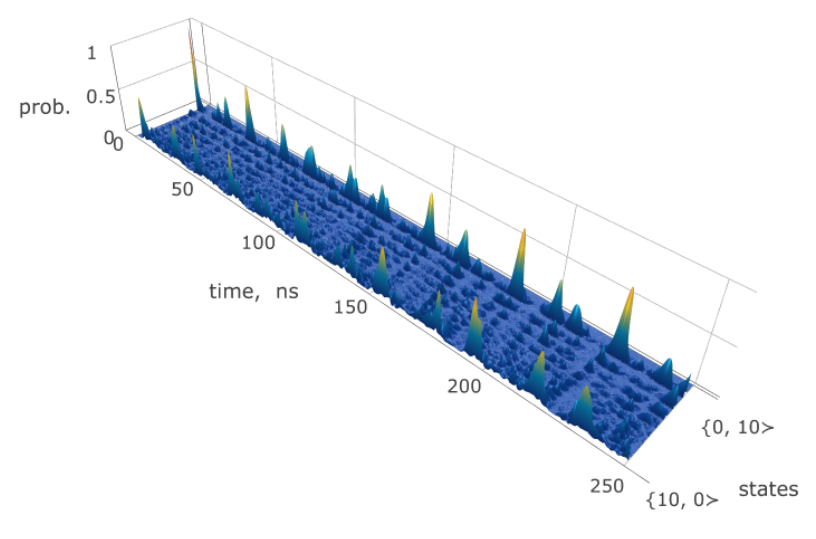
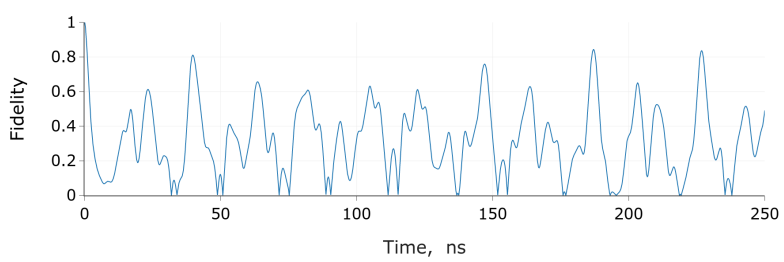


Рис. 4:
$$|\Psi_0\rangle = |vac\rangle_{ph}\{0 \succ_{A_1}\{5 \succ_{A_2} ($$
начальное состояние $)$ $|\Psi_1\rangle = |vac\rangle_{ph}\{5 \succ_{A_1}\{0 \succ_{A_2}$

наблюдается высокое качество осцилляций, близкое к 1; коллапсы и возрождения ансамблевых состояний







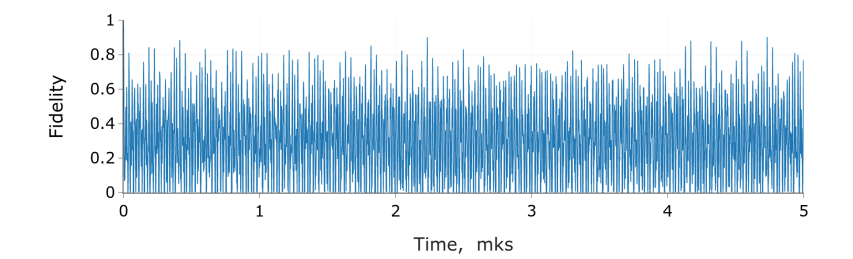


Рис. 5:
$$|\Psi_0\rangle = |vac\rangle_{ph}\{0 \succ_{A_1}\{10 \succ_{A_2} \ ($$
начальное состояние $)$ $|\Psi_1\rangle = |vac\rangle_{ph}\{10 \succ_{A_1}\{0 \succ_{A_2}$

высокое качество осцилляций, достигающее 0.8; коллапсы и возрождения ансамблевых состояний

3.5 Зависимость качества осцилляций от числа атомов и силы взаимодействия с полем

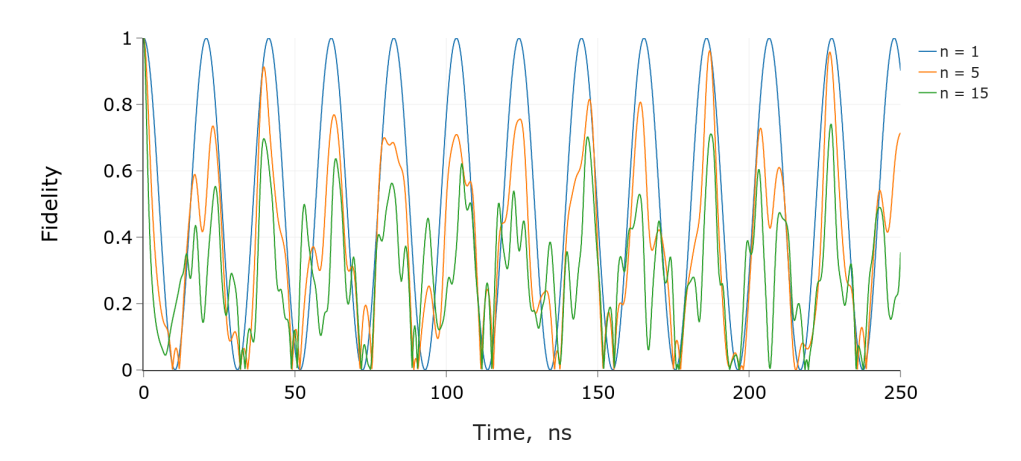
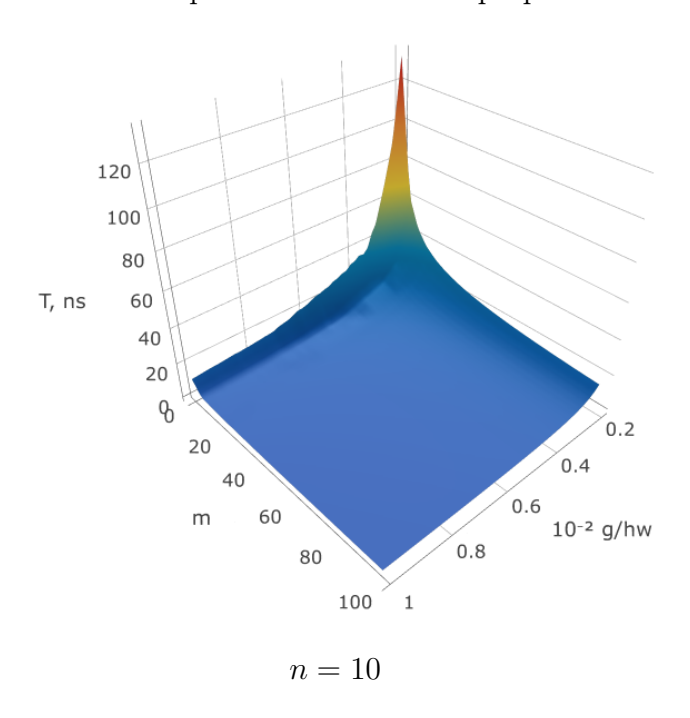
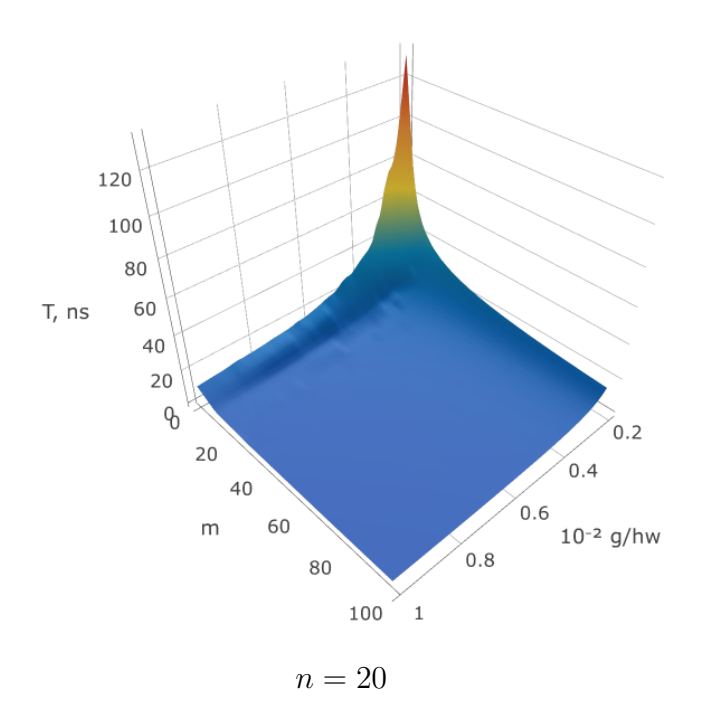
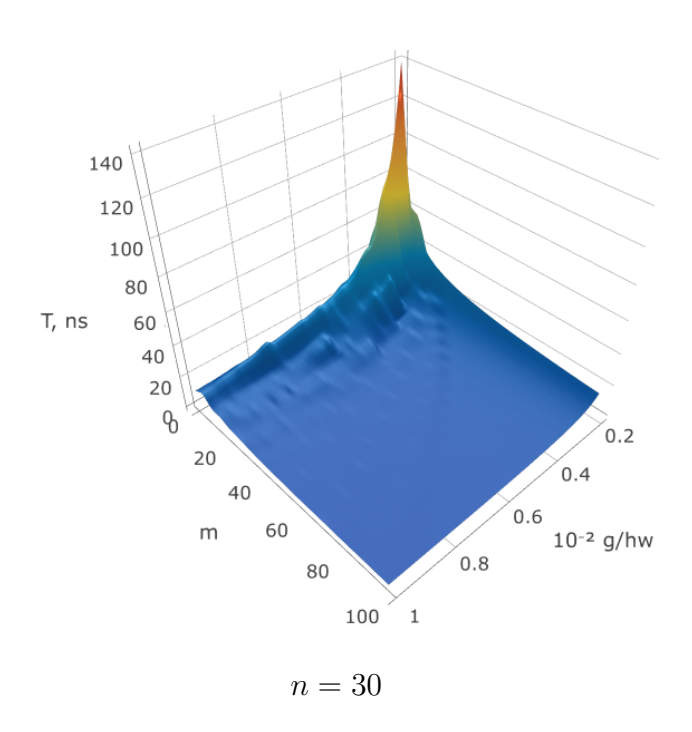


Рис. 6: Наблюдается снижение пиковых амплитуд и нарушение периодичности осцилляций состояний вида $|\Psi_0\rangle = |vac\rangle_{ph}\{0,n\succ_{at}, |\Psi_1\rangle = |vac\rangle_{ph}\{n,0\succ_{at}$ при увеличении числа n атомов в группе.

Следующие графики демонстрируют зависимость периода осцилляций состояний вида $|\Psi_0\rangle = |m\rangle_{ph}\{0,n\succ_{at},\ |\Psi_1\rangle = |m\rangle_{ph}\{n,0\succ_{at}\$ от силы взаимодействия g и первоначального числа m фотонов в полости при различных значениях n.







Увеличение силы взаимодействия g атомов с полем, равно как и увеличение фотонной накачки, приводит к существенному уменьшению периода осцилляций. При стремлении g к нулю период осцилляций стремится к бесконечности (значение g=0 соответствует случаю отсутствия взаимодействия "атом-поле").

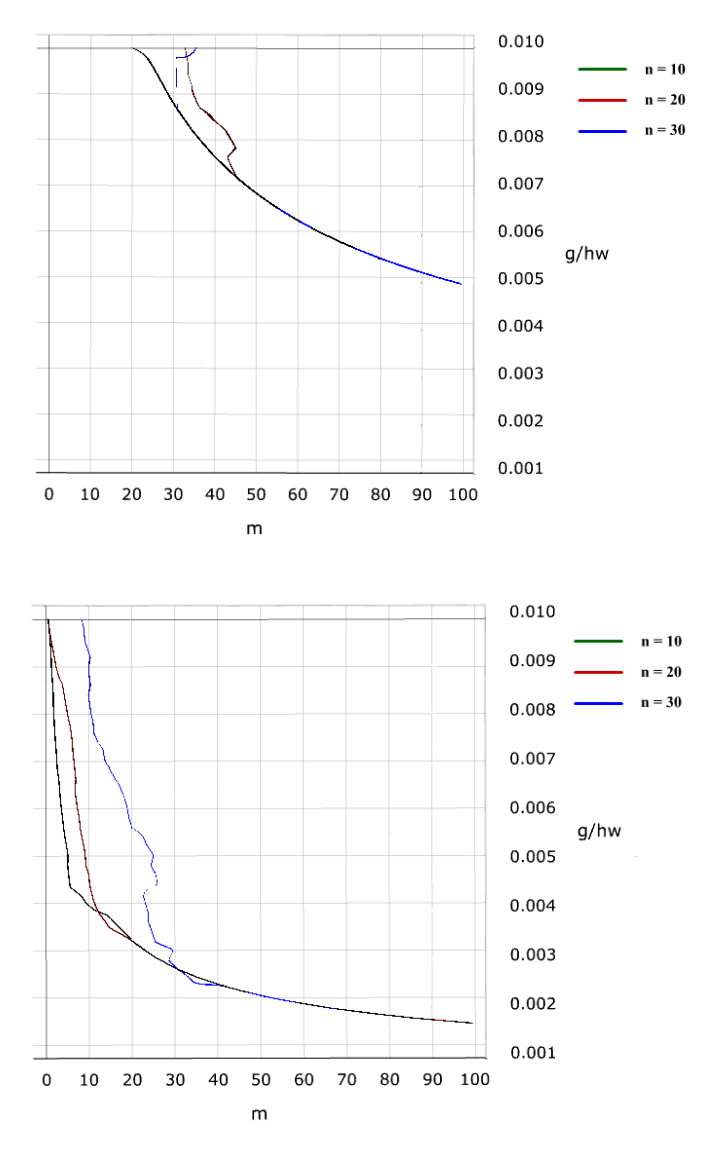


Рис. 7: Удлинение периода осцилляций при уменьшении коэффициента связи g с полем может быть скомпенсировано увеличением числа n атомов и фотонной накачки m.

Представленные изочастотные графики, соответствующие периодам осцилляций T=3 ns и T=10 ns для n=10,20-30 атомов демонстрируют возможность наращивания числа атомов в группе и уменьшения силы взаимодействия "атом-поле"с одновременным сохранением периода осцилляций.

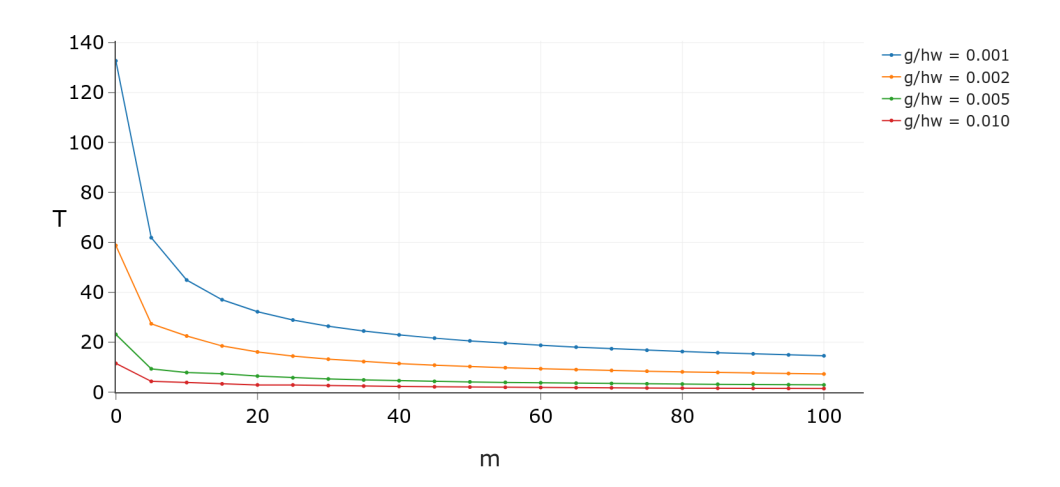


Рис. 8: зависимость периода осцилляций от первоначального числа m фотонов в полости (10 атомов)

начальное состояние: $|\Psi_0\rangle=|m\rangle_{ph}\{0,10\succ_{at}$

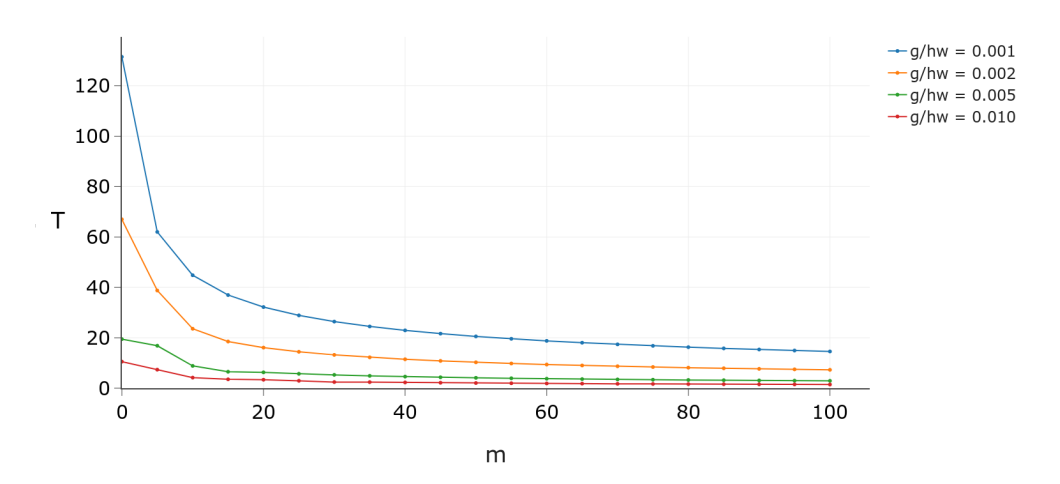


Рис. 9: зависимость периода осцилляций от первоначального числа m фотонов в полости (20 атомов)

начальное состояние: $|\Psi_0\rangle=|m\rangle_{ph}\{0,20\succ_{at}$

Увеличение фотонной накачки в полости резонатора сопровождается асимптотическим стремлением к нулю периода осцилляций.

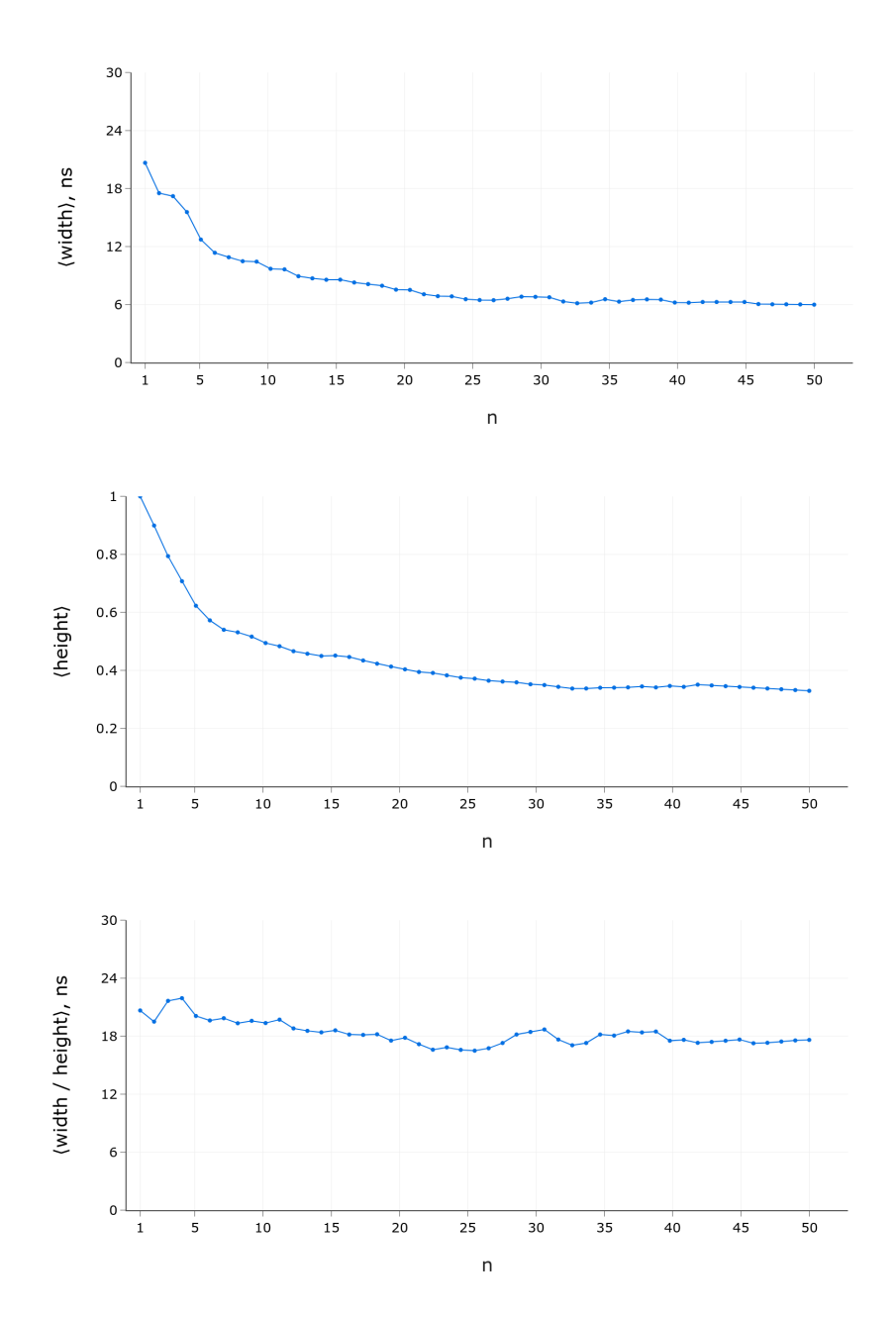


Рис. 10: $\langle \text{width} \rangle$ – среднее значение ширины основания пика, $\langle \text{height} \rangle$ – среднее значение высоты пика квадрата амплитуды начального состояния $|\Psi_0\rangle = |vac\rangle_{ph} \{0, n \succeq_{at}.$

Наблюдается уменьшение средних значений ширины основания и высоты пика осцилляций при увеличении числа атомов n в группе. Их отношение близко к константе.

4 Модель Тависа-Каммингса для неидеальной полости

Рассмотрим гамильтониан Тависа-Каммингса в RWA приближении для n двухуровневых атомов, имеющих разные координаты внутри полости. Пусть энергии возбуждения атомов равны $h\omega_a$, и отличаются от энергии фотона полости $h\omega_c$ малыми расстройками $d_i = h\omega_c - h\omega_a$. Гамильтониан такой системы имеет вид

$$H_{TC}^{(RWA)} = h\omega_c a^+ a + h\omega_a \sum_{i=1}^n \sigma_i^+ \sigma_i + a\bar{\sigma}^+ + a^+\bar{\sigma},$$
 (5)

где $\bar{\sigma} = \sum_{i=1}^n g_i \sigma_i$, $\bar{\sigma}^+ = \sum_{i=1}^n g_i \sigma_i^+$ - операторы коллективной релаксации и возбуждения группы атомов, силы взаимодействия которых с полем $g_1, g_2, ..., g_n$, вообще говоря, различны.

Реальный резонатор находится в контакте с внешней средой, которая в простейшем случае имеет вид одномодового фотонного резервуара с фиксированной температурой на моде полости. Контакт предполагает возможность обмена фотонами частоты ω_c между внешней средой и полостью.

Рассмотрим простейший случай нулевой температуры на моде полости, при котором во внешнем резервуаре нет фотонов и такой контакт ведет к постоянной утечке фотонов из полости. Если $\rho(t)$ - матрица плотности системы "атомы + поле" в полости, ее динамика в указанном случае описывается квантовым основным уравнением

$$ih\dot{\rho} = \mathcal{L}(\rho), \quad \mathcal{L}(\rho) = -\frac{i}{h}[H,\rho] + \frac{1}{h}L(\rho), \quad L(\rho) = \gamma \left(a\rho a^{+} - \frac{1}{2}\{a^{+}a,\rho\}\right)$$
 (6)

где $H=H_{TC}^{RWA}$, γ — параметр, отвечающий за интенсивность линдбладовского процесса, $L(\rho)=\gamma \left(a\rho a^+-\frac{1}{2}\{a^+a,\rho\}\right)$ — оператор Линдблада, соответствующий утечке фотона, которая выражается оператором уничтожения фотона a.

Мы будем исследовать динамику состояния атомов и поля, идущую задолго до наступления термической стабилизации, рассматривая обмен фотонами с внешним резурвуаром как фактор декогерентности.

4.1 Осцилляции с утечкой фотонов из полости

Характерная картина ансамблевых осцилляций сохраняется при условии, когда резонатор находится в контакте с внешней средой, приводящем к постоянной утечке фотонов из полости.

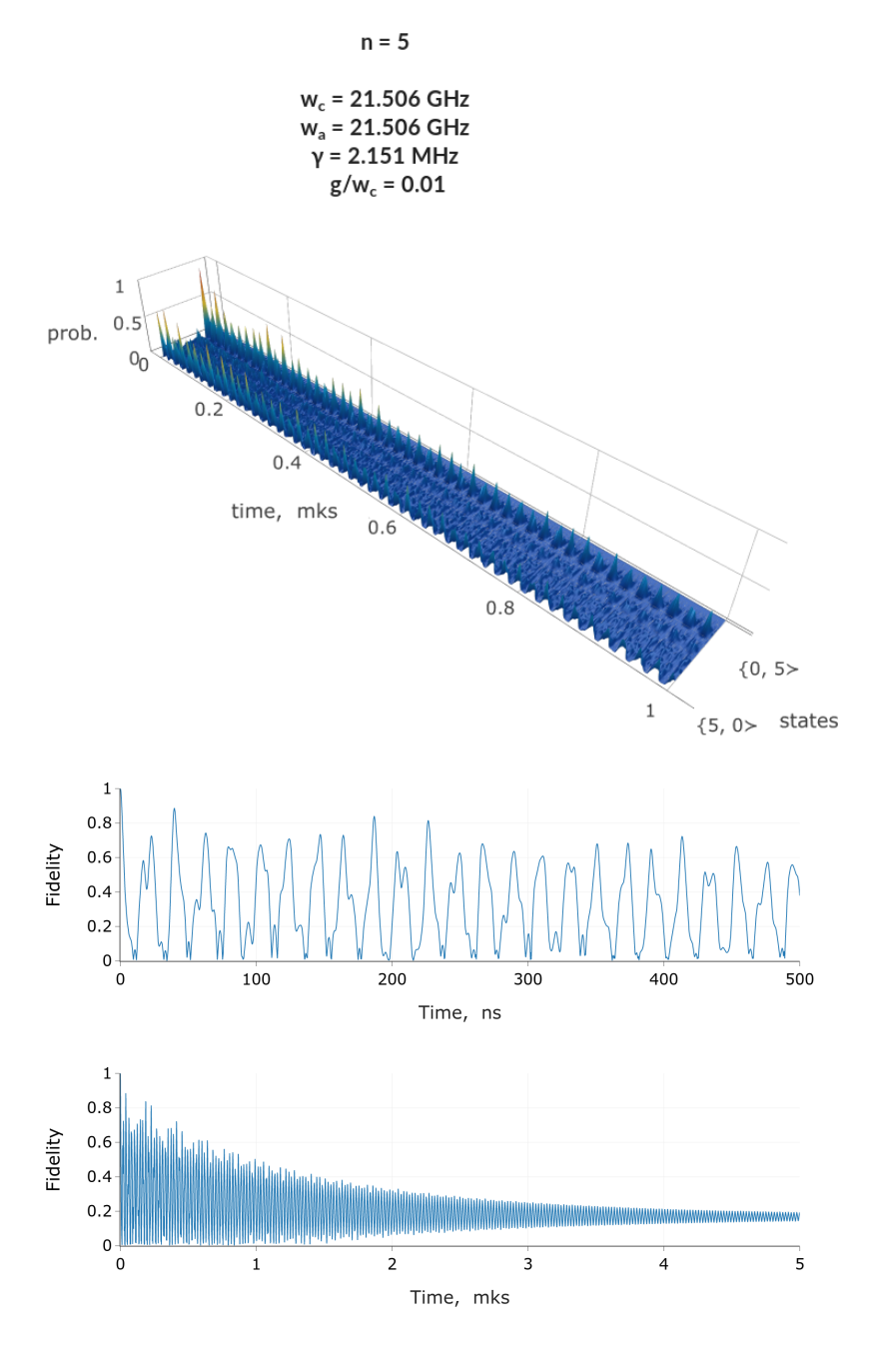


Рис. 11: $|\Psi_0\rangle = |vac\rangle_{ph}\{0, 5 \succ_{at}$

5 Модель Тависа-Каммингса-Хаббарда

Модель Тависа-Каммингса можно обобщить на случай двух и более взаимодействующих полостей: фотоны могут перемещаться между полостями посредством оптического волокна.

$$n = 1 \qquad n = 2 \qquad n = 3 \qquad \qquad n \qquad \qquad n = N$$

Такая система называется моделью Тависа-Каммингса-Хаббарда и ее гамильтониан в представлении взаимодействия имеет следующий вид:

$$H_{TCH} = \sum_{j=1}^{J} \left(\underbrace{hw_{c_{j}} a_{j}^{+} a_{j}}_{H_{field}} + \underbrace{hw_{a_{j}} \sum_{i=1}^{N} \sigma_{i_{j}}^{+} \sigma_{i_{j}}}_{H_{atoms}} + \underbrace{g_{j} \sum_{i=1}^{N} (\sigma_{i_{j}}^{+} + \sigma_{i_{j}})(a_{j}^{+} + a_{j})}_{H_{int}} \right)$$

$$+ \mu \sum_{j=1}^{J} \left(a_{j+1}^{+} a_{j} + a_{j}^{+} a_{j+1} \right)$$

$$(7)$$

J – количество взаимодействующих полостей

последнее слагаемое отвечает за перелет фотонов между полостями (параметр μ характеризует частоту перелета)

Аналогичным образом определяется гамильтониан ТСН в приближении вращающейся волны:

$$H_{TCH}^{RWA} = \sum_{j=1}^{J} \left(\underbrace{hw_{c_{j}} \ a_{j}^{+} a_{j}}_{H_{field}} + \underbrace{hw_{a_{j}} \sum_{i=1}^{N} \sigma_{i_{j}}^{+} \sigma_{i_{j}}}_{H_{atoms}} + \underbrace{g_{j} \sum_{i=1}^{N} (\sigma_{i_{j}}^{+} a_{j} + \sigma_{i_{j}} a_{j}^{+})}_{H_{int}} \right)$$

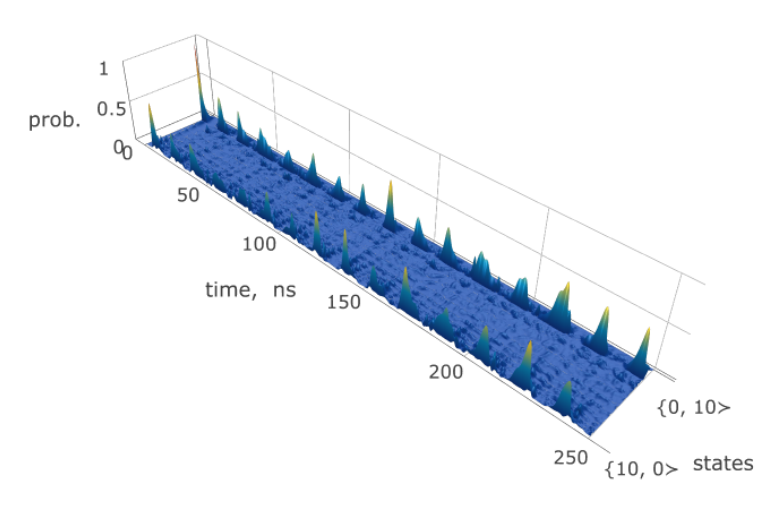
$$+ \mu \sum_{j=1}^{J} \left(a_{j+1}^{+} a_{j} + a_{j}^{+} a_{j+1} \right)$$
(8)

6 Ансамблевые осцилляции между полостями

Группы атомов A_1 и A_2 , распределенные между полостями, дают хорошие осцилляции при достаточно большой амплитуде μ перехода возбуждения ($\mu > g$).

Моделирование следующей динамики проводилось для 10 атомов в каждой полости при $\mu \approx 3.5g$.

Начальное состояние $|\Psi_0\rangle = |vac\rangle_{ph_I}|vac\rangle_{ph_{II}}\{0,n \succeq_{at},$ где $|vac\rangle_{ph_I}$ – начальное вакуумное состояние поля I полости, $|vac\rangle_{ph_{II}}$ – начальное вакуумное состояние поля II полости, $\{i,j\succeq_{at}=\{i\succeq_I\{j\succeq_{II}-\text{состояние атомных групп }A_1,A_2.$



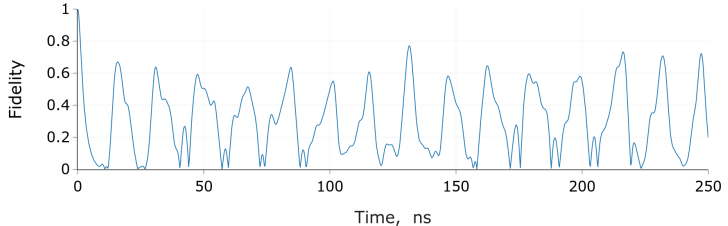
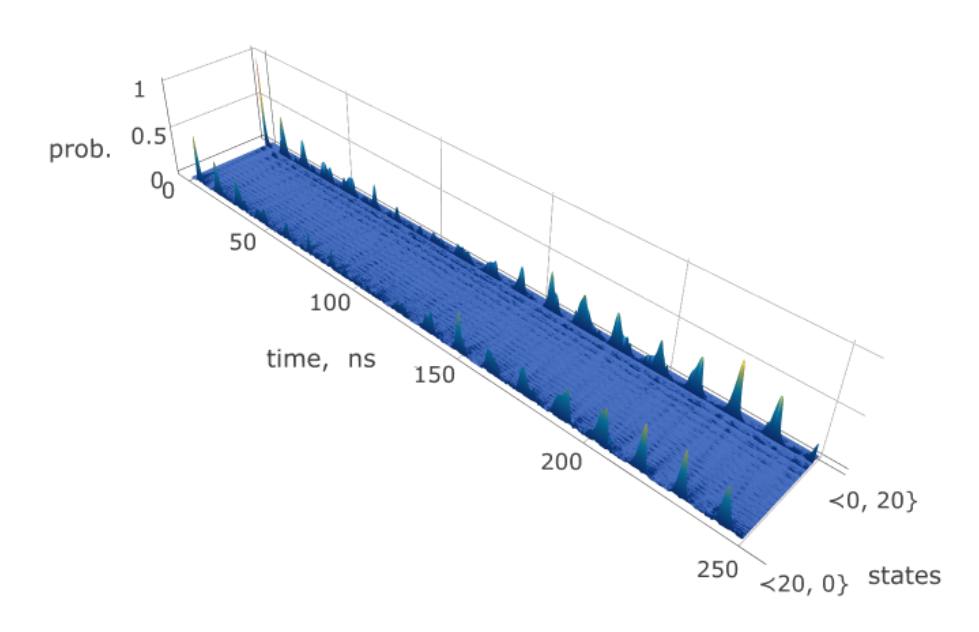


Рис. 12: $|\psi_0\rangle = |vac\rangle_{ph_I}|vac\rangle_{ph_{II}}\{0 \succ_I \{10 \succ_{II}$ коллапсы и возрождения ансамблевых состояний между полостями высокого качества

Для числа атомов, равного 20, была численно найдена граница возникновения осцилляций: амплитуда перехода возбуждения между полостями, равная $\mu \approx 5g$.



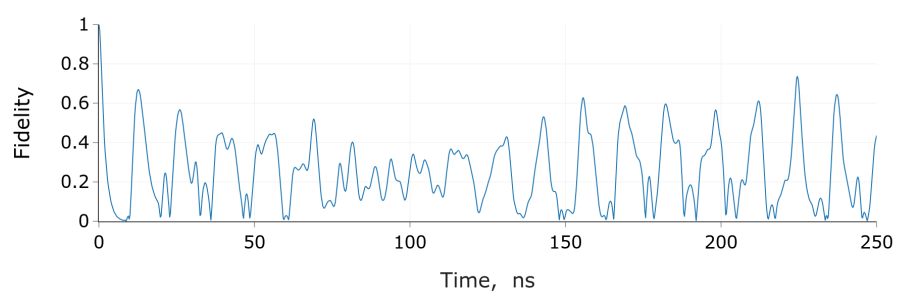


Рис. 13: $|\psi_0\rangle = |vac\rangle_{ph_I}|vac\rangle_{ph_{II}}\{0\succ_I\{20\succ_{II}\}\}$

высокое качество осцилляций, близкое к 0.8, коллапсы и возрождения ансамблевых состояний

7 Заключение

В настоящей работе была рассмотрена динамика квантовых состояний ансамбля двухуровневых атомов и одномодового поля в резонаторе в рамках модели Тависа-Каммингса в RWA приближении с шумами, а также в рамках модели Тависа-Каммингса-Хаббарда (RWA) для случая двух взаимодействующих полостей.

- Установлен резкий характер осцилляций между двумя группами атомов одинаковой численности и одинаковой силы взаимодействия с полем.
- Резкость осцилляций в ансамбле с четным числом двухуровневых атомов предсказуемо растет с увеличением фотонной накачки полости и намного превосходит резкость обычных рабиевских осцилляций.
- Численно найдена зависимость осцилляций от разброса значений силы связи с полем. Показано, что удлинение периода этих осцилляций при уменьшении коэффициента связи с полем может быть скомпенсировано увеличением числа атомов и фотонной накачки.
- Обнаружено хорошо регистрируемое квантовое "эхо": переход состояния атомов из одной полости в другую и возврат этого состояния в первоначальную полость, что имеет место для произвольного ансамблевого состояния.

Установлено высокое качество такого эха и его зависимость от амплитуды перехода между полостями. В частности, была установлена граница возникновения осцилляций, равная $\mu\approx 3.5g$ для 10 атомов и $\mu\approx 5g$ для 20 атомов в каждой группе.

Результаты для ансамблей из 20-50 атомов в половине ансамбля, необходимые для уверенной фиксации выявленного характера осцилляций, требовали моделирования динамики как чистых, так и смешанных квантовых состояний в пространстве около 40 кубитов, не могут быть получены на рабочей станции. Для проведения данных численных экспериментов использовалось моделирование динамики на GPU суперкомпьютера Ломоносов с применением технологии параллельных вычислений CUDA, а также пакета матричной алгебры MAGMA [5].

Автор выражает благодарность Российскому Фонду Фундаментальных исследований за грант а-18-01-00695.

8 Приложение

Листинг параллельной программы (динамика ансамблевых состояний модели Тависа-Каммингса)

Полный код последовательной и параллельной версий программных реализаций моделей Тависа-Каммингса и Тависа-Каммингса-Хаббарда доступен по адресу https://github.com/alexfmsu/Quantum_Mechanics.

Bipartite.cpp

```
// system
#include <iostream>
#include <cstring>
#include <cmath>
#include "magma-2.3.0/include/magma_v2.h"
// BipartiteGeneral
#include "Cavity.h"
#include "Hamiltonian.h"
#include "WaveFunction.h"
#include "DensityMatrix.cpp"
#include "Evolution.cpp"
#include "parser.cpp" // config
// Common
#include "ext.cpp"
// ------
using namespace std;
// -----
int main(int argc, char** argv) {
magma_init();
magma_queue_t queue = NULL;
magma_int_t dev = 0;
magma_queue_create(dev, &queue);
const char* config_filename = (argc > 1) ? (argv[1]) : ("Bipartite/config");
BGconfig config;
config.read_from_file(config_filename);
print("Parse config... done\n\n", "yellow");
cout << ''[' << config.init_state()->first << "," << config.init_state()->second << "]" << endl;</pre>
// -----
mkdir(config.path());
string cmd = "cp " + string(config_filename) + " " + config.path() + "/config.py";
if (system(cmd.c_str())) {
Assert(false, "Error: system(cmd.c_str())", __FILE__, __LINE__);
// ------
```

```
Cavity cavity(config.n(), config.wc(), config.wa(), config.g());
cavity.print_n();
cavity.print_wc();
cavity.print_wa();
cavity.print_g();
Hamiltonian H(config.capacity(), &cavity, &queue);
print("Hamiltonian... done\n\n", "yellow");
H.print_states();
#if DEBUG
// H.write_to_file(config.H_csv(), config.precision());
// H.print_bin_states();
// H.print_html();
#endif
// ------
DensityMatrix ro_0(&H, H.states());
cout << "config.T = " << config.T() << endl;</pre>
cout << "config.nt = " << config.nt() << endl;
cout << "config.dt = " << config.dt() << endl;</pre>
ro_0.set_ampl(config.init_state(), MAGMA_Z_MAKE(1, 0));
print("Density matrix... done\n', "yellow");
#if DEBUG
// // ro_0.write_to_file(config.ro0_csv, config.precision());
#endif
// run(ro_0, H, config.dt(), config, true);
// print("Evolution... done\n\n", "yellow");
WaveFunction wf(H.states());
wf.set_amplitude(config.init_state(), 1.0);
wf.print();
run_wf(wf, H, config.dt(), config, true);
print("\nSUCCESS\n");
                       ______
magma_queue_destroy(queue);
magma_finalize();
// -----
return 0;
Cavity.h
#pragma once
// -----
#include "../Common/Assert.cpp"
#include "../Common/Print.cpp"
#include "../Common/STR.cpp"
// ------
```

```
class Cavity {
public:
   // BEGIN------ CONSTRUCTOR ------
  Cavity(const int _n, const double _wc, const double _wa, const double _g) {
     Assert(_n > 0, "n <= 0", __FILE__, __LINE__);
     n_{-} = _n;
     Assert(_wc > 0, "wc <= 0", __FILE__, __LINE__);
     wc_ = _wc;
     Assert(_wa > 0, "wa <= 0", __FILE__, __LINE__);
     wa_ = _wa;
     Assert(_g > 0, "g <= 0", __FILE__, __LINE__);
     g_{-} = _g;
  // END----- CONSTRUCTOR -----
  Cavity operator=(const Cavity& _cv) {
     return Cavity(_cv.n_, _cv.wc_, _cv.wa_, _cv.g_);
  // BEGIN----- GETTERS ------
       n() const { return n_; }
  int
  double wc() const { return wc_; }
  double wa() const { return wa_; }
  double g() const { return g_; }
  // END----- GETTERS ------
  // BEGIN----- PRINT ------
  void print_n() const {
     print(" n: ", "green");
     print(n_);
     println(2);
  }
  void print_wc() const {
     print("wc: ", "green");
     print(wc_str(wc_));
     println(2);
  }
  void print_wa() const {
     print("wa: ", "green");
     print(wa_str(wa_));
     println(2);
  }
  void print_g() const {
     print(" g: ", "green");
     print(g_str(g_));
     println(2);
  // END-----PRINT ------
```

```
// BEGIN------ DESTRUCTOR ------
   ~Cavity() {}
   // END------ DESTRUCTOR ------
private:
   int n_;
   double wc_;
   double wa_;
   double g_;
Hamiltonian.h
#include <iostream>
#include <string>
#include <map>
#include "matrix.h"
#include "Cavity.h"
#include "CV_state.h"
using namespace std;
typedef pair<int, int> BinState;
double a_cross(const int ph) {
   return sqrt(ph + 1);
double a(const int ph) {
   return sqrt(ph);
typedef pair<int, int> point;
class Hamiltonian: public Matrix {
public:
   vector<std::string> bin_states_keys;
   map<std::string, vector<int> > bin_states_;
   Hamiltonian(int _capacity, Cavity* _cv, magma_queue_t* queue) : Matrix() {
       Assert(_capacity > 0, "capacity <= 0", __FILE__, __LINE__);
      capacity_ = _capacity;
      cv_{-} = _cv;
       queue_ = queue;
       // init_states();
       // -----
       int M = capacity_;
       int n = cv_->n();
       int _min = std::min(M, n);
```

```
int count = 0;
// -----
for (int i1 = 0; i1 <= _min; i1++) {
    for (int i2 = 0; i2 \le min(n, M - i1); i2++) {
        states_[count] = make_pair(i1, i2);
        count++;
    }
}
int dime = states_.size();
M_{-} = N_{-} = dime;
size_ = M_ * N_;
cpu_alloc();
gpu_alloc();
double wc = cv_->wc();
double wa = cv_->wa();
double g = cv_->g();
int i = 1, j;
count = 0;
std::pair<int, int> p;
// FROM PYTHON
for (int i1 = 0; i1 <= _min; i1++) {
    for (int i2 = 0; i2 \le min(n, M - i1); i2++) {
        j = 1;
        for (int j1 = 0; j1 \le min; j1++) {
            for (int j2 = 0; j2 \le min(n, M - j1); j2++) {
                if (i1 != j1) {
                   p = make_pair(i1, j1);
                } else if (i2 != j2) {
                   p = make_pair(i2, j2);
                } else {
                    p = make_pair(1, 2);
                int mi = min(p.first, p.second);
                double kappa = sqrt((n - mi) * (mi + 1));
                if (abs(i1 - j1) + abs(i2 - j2) == 1) {
                    set(i - 1, j - 1, g * sqrt(max(M - i1 - i2, M - j1 - j2)) * kappa);
                } else if (abs(i1 - j1) + abs(i2 - j2) == 0) {
                    set(i - 1, j - 1, (M - (i1 + i2)) * wc + (i1 + i2) * wa);
                    set(i - 1, j - 1, 0);
                j++;
            }
        }
        i++;
    }
cout << states_.size() << endl;</pre>
```

}

```
double capacity() const { return capacity_; }
   Cavity* cavity() { return cv_; }
    // END-----
                         ----- GETTERS -----
   void init_states() {
       int n = cv_->n();
        int k = 0;
        for (int i = 0; i \le n; i++) {
           for (int j = 0; j <= capacity_ - i; j++) {
    states_[k++] = make_pair(i, j);</pre>
       }
   }
   map<int, point>* states() {
       return &states_;
   void print_states() {
        cout << "STATES:" << endl;</pre>
        for (auto k : states_) {
            cout << "[" << k.second.first << " " << k.second.second << "]" << endl;
            // k.second.print();
   }
   int capacity_;
   Cavity* cv_;
   map<int, point> states_;
};
WaveFunction.h
#pragma once
#include <omp.h>
typedef pair<int, int> point;
class WaveFunction : public Matrix {
WaveFunction(map<int, point>* states) : Matrix() {
size_ = M_ = states->size();
N_{-} = 1;
cpu_alloc();
gpu_alloc();
states_ = states;
WaveFunction(WaveFunction& wf) {
```

// BEGIN----- GETTERS ------

```
size_ = M_ = wf.M_;
N_{-} = 1;
cpu_alloc();
gpu_alloc();
memcpy(cpu_data_, wf.cpu_data(), size_ * sizeof(magmaDoubleComplex));
states_ = wf.states_;
void set_amplitude(point* state, double val) {
for (auto k : *states_) {
if (k.second == *state) {
set(k.first, 0, Complexd(1, 0));
return;
cout << "ERROR\n";</pre>
void print(int precision = 3) const {
double eps = 1.0 / pow(10, precision);
for (int i = 0; i < M_; i++) {
Complexd v = get(i, 0);
double re = v.real();
double im = v.imag();
if (abs(re) < eps) {
re = 0;
}
if (abs(im) < eps) {
im = 0;
cout << fixed << setprecision(precision) << "(" << re << "," << im << ")" << endl;</pre>
cout << endl;</pre>
void friend GEMV(Matrix* A, Matrix* B, Matrix* C, magma_queue_t queue, Complexd* alpha,
Complexd* beta, const char _a = 'N', const char _b = 'N') {
magmaDoubleComplex Alpha = MAGMA_Z_MAKE(1, 0);
magmaDoubleComplex Beta = MAGMA_Z_MAKE(0, 0);
Matrix* B_tmp;
if (B == C) {
B_{tmp} = new Matrix(B->M(), B->N());
\verb|memcpy(B_tmp->cpu_data(), B->cpu_data(), B_tmp->M() * B_tmp->N() * sizeof(magmaDoubleComplex)); \\
} else {
B_{tmp} = B;
}
magma_zsetmatrix (A->M(), A->N(), A->cpu_data(), A->M() , A->gpu_data(), A->M(), queue);
magma_zsetvector (A->N() , B_tmp->cpu_data(), 1 , B_tmp->gpu_data() , 1 , queue);
\label{lem:magma_zsetvector} \verb| (A->M() , C->cpu_data() , 1 , C->gpu_data() , 1 , queue); \\
```

```
B_tmp->gpu_data(), 1, Beta, C->gpu_data(), 1, queue);
magma_zgetvector (A->M() , C->gpu_data(), 1 , C->cpu_data() , 1 , queue);
if (B == C) {
delete B_tmp;
}
double norm() {
// magmaDoubleComplex norm;
// Complexd norm(0, 0);
double norm_d = 0;
int i:
// #pragma omp parallel private(i) reduction(+:norm_d)
for (i = 0; i < M_{-}; i++) {
norm_d += (get(i, 0).conj() * get(i, 0)).abs();
return norm_d;
// return MAGMA_Z_ABS(norm);
}
vector<double> diag() {
vector<double> diag_;
Complexd val(0, 0);
for (int i = 0; i < M_{-}; i++) {
val = get(i, 0);
diag_.push_back((val.conj() * val).abs());
}
return diag_;
void print_diag() {
vector<double> diag_ = diag();
for (int i = 0; i < M_{-}; i++) {
cout << diag_[i] << " ";
cout << endl;</pre>
~WaveFunction() {
magma_free_pinned(cpu_data_);
magma_free(gpu_data_);
private:
map<int, point>* states_;
};
{\bf Density Matrix.cpp}
#pragma once
// ------
```

magma_zgemv(MagmaNoTrans, A->M(), A->N(), Alpha, A->gpu_data(), A->M(),

```
#include "matrix.h"
using namespace std;
class DensityMatrix: public Matrix {
public:
  // BEGIN----- CONSTRUCTOR -----
  states_ = _states;
  // END----- CONSTRUCTOR -----
  void set_ampl(point* _state, Complexd _val) {
     bool found = false;
     for (auto k : *states_) {
        bool eq = (k.second == *_state);
        if (eq) {
          found = true;
          set(k.first, k.first, _val);
          break;
     }
     Assert(found, "not found", __FILE__, __LINE__);
  // ------
  double norm(vector<Complexd>& diag_) {
     double norm_ = 0;
     for (int i = 0; i < diag_.size(); i++) {</pre>
       norm_ += diag_[i].abs();
     return norm_;
  }
  double norm() {
     double norm_ = 0;
     vector<Complexd> diag_ = diag();
     for (int i = 0; i < diag_.size(); i++) {</pre>
       norm_ += diag_[i].abs();
     return norm_;
  }
  // BEGIN----- DESTRUCTOR -----
  // END----- DESTRUCTOR -----
private:
  map<int, point>* states_;
```

```
};
// ------
```

Unitary.h

```
#pragma once
#include <iostream>
#include "matrix.h"
#include "Types.h"
# диагонализация гамильтониана и вычисление матричной экспоненты
Matrix getU(Matrix* H, double dt) {
    int M = H->M();
   int N = H->N();
   magma_int_t n2 = M * N;
   Matrix a(M, N);
   for (int i = 0; i < M; i++) {
        for (int j = 0; j < N; j++) {
            a.set(i, j, H->get(i, j));
   }
   double *s1;
   magma_int_t info ;
   magma_int_t ione = 1;
   double error = 1.;
   double mone = -1.0;
   magma_int_t lwork;
   magma_int_t min_mn = min(M, N);
   double* rwork;
   magma_int_t* iwork = new magma_int_t[N];
   magma_int_t liwork = 3 + 5 * N;
   magma_dmalloc_cpu(&s1 , min_mn );
   magma_int_t nb = magma_get_zhetrd_nb(N);
   lwork = max( N + N * nb, 2 * N + N * N);
   magma_int_t lrwork = 1 + 5 * N + 2 * N * N;
   magma_dmalloc_pinned (& rwork , lrwork);
   complexd* work;
   magma_zmalloc_pinned(&work, lwork);
   magma_int_t aux_iwork[1], lda = N;
   magmaDoubleComplex aux_work[1];
   double aux_rwork[1];
   magma_zheevd( MagmaVec, MagmaLower,
                  N, NULL,
                  lda, NULL,
                  aux_work, -1,
                  aux_rwork, -1,
                  aux_iwork, -1,
```

```
&info );
lwork = (magma_int_t) MAGMA_Z_REAL( aux_work[0] );
lrwork = (magma_int_t) aux_rwork[0];
liwork = aux_iwork[0];
magmaDoubleComplex *h_A, *h_R, *h_work;
double *w1, *w2, result[3], eps;
magma_queue_t queue = NULL ;
magma_device_t device;
magma_queue_create(device, &queue);
magma_zmalloc_cpu(&h_A, N * lda);
magma_zsetmatrix(H->M(), H->N(), H->cpu_data(), H->M(), h_R, H->M(), queue);
magma_dmalloc_cpu(&w1, N);
magma_dmalloc_cpu(&w2, N);
magma_dmalloc_cpu(&rwork, lrwork);
magma_imalloc_cpu(&iwork, liwork);
magma_zmalloc_pinned(&h_R, N * lda);
magma_zmalloc_pinned(&h_work, lwork);
magma_zheevd( MagmaVec, MagmaLower,
              N, a.cpu_data(), lda, w1,
              h_work, lwork,
              rwork, lrwork,
              iwork, liwork,
              &info );
Matrix V(M, M);
Matrix D(M, M);
Matrix VD(M, M);
Matrix U(M, M);
for (int i = 0; i < M; i++) {
    for (int j = 0; j < N; j++) {
        V.set(i, j, a.get(i, j));
   D.set(i, i, w1[i]);
D.exp_diag(Complexd(0, -dt));
Complexd alpha = cONE;
Complexd beta = cZERO;
GEMM(&V, &D, &VD, H->queue(), &alpha, &beta, 'N', 'N');
GEMM(&VD, &V, &U, H->queue(), &alpha, &beta, 'N', 'C');
free(s1);
free(w1);
free(w2);
free(rwork);
free(iwork);
magma_free_pinned(h_work);
magma_free_pinned(h_R);
return U;
```

}

Evolution.cpp

```
// ------
#pragma once
// -----
// Common
#include "ext.cpp"
#include "Fidelity.cpp"
#include "parser.cpp"
#include "Unitary.h"
#include <sstream>
void run(DensityMatrix& ro_0, Hamiltonian& H, double dt, BGconfig& config, bool fidelity_mode = false) {
cout << "dt = " << dt << endl;</pre>
// оператор эволюции
Matrix U = getU(&H, dt);
#if DEBUG
U.write_to_file(config.U_csv(), config.precision());
#endif
File f(config.z_csv());
f.erase();
f.open("w");
vector<Complexd> diag_;
map<std::string, double> p_bin;
vector<double> v_bin;
Complexd alpha = cONE;
Complexd beta = cZERO;
vector<double> FIDELITY;
Matrix ro_0_sqrt = ro_0.get_sqrt();
DensityMatrix ro_t(ro_0);
// Matrix* A_tmp;
// A_tmp = new Matrix(ro_t.M(), ro_t.N());
// Matrix* B_tmp;
// B_tmp = new Matrix(ro_t.M(), ro_t.N());
// Реализация схемы Эйлера с шагом по времени dt
for (int i = 0; i < config.nt(); i++) {</pre>
if (fidelity_mode) {
double fidelity_t = fidelity(&ro_0_sqrt, &ro_t, H.queue());
FIDELITY.push_back(fidelity_t);
}
diag_ = ro_t.diag();
```

double diag_norm = ro_t.norm(diag_);

```
if (abs(1 - diag_norm) > 1) {
cout << "Not normed" << endl;</pre>
cout << "i = " << i << ", " << diag_norm << endl;
// string cmd = "if [ -d '" + config.path() + "' ]; then rm -r " + config.path() + "; fi";
// int _sys = system(cmd.c_str());
exit(1);
f.write(diag_, config.precision());
GEMM(&U, &ro_t, &ro_t, H.queue(), &alpha, &beta, 'N', 'N');
GEMM(&ro_t, &U, &ro_t, H.queue(), &alpha, &beta, 'N', 'C');
// memcpy(B_tmp->cpu_data(), ro_t.cpu_data(), B_tmp->M() * B_tmp->N() * sizeof(magmaDoubleComplex));
// GEMM(&U, B_tmp, &ro_t, H.queue(), &alpha, &beta);
// GEMM(&U, &ro_t, &ro_t, H.queue(), &alpha, &beta);
// memcpy(A_tmp->cpu_data(), ro_t.cpu_data(), A_tmp->M() * A_tmp->N() * sizeof(magmaDoubleComplex));
// GEMM(A_tmp, &U, &ro_t, H.queue(), &alpha, &beta, 'N', 'C');
// GEMM(&ro_t, &U, &ro_t, H.queue(), &alpha, &beta, 'N', 'C');
}
// delete A_tmp;
// delete B_tmp;
f.close();
vector<std::string> st;
for (auto k : *H.states()) {
std::stringstream ss;
 \label{eq:cond}  \mbox{if } (k.second == make\_pair(0, H.cavity()->n()) \ || \ k.second == make\_pair(H.cavity()->n(), \ 0)) \ \{ (k.second == make\_pair(H.cavity()->n(), \ 0)) \ || \ k.second == make\_pair(H.cavity()->n(), \ 0)
ss << "[" << k.second.first << ", " << k.second.second << "]";
} else {
ss << "";
}
st.push_back(ss.str());
write_states(config.x_csv(), st);
write_t(config.t_csv(), T_str_v(config.T()), config.nt());
if (fidelity_mode) {
File f_fid_csv(config.fid_csv());
f_fid_csv.open("w");
f_fid_csv.writeln("fidelity");
for (size_t i = 0; i < FIDELITY.size(); i++) {</pre>
f_fid_csv.writeln(FIDELITY[i], config.precision());
f_fid_csv.close();
// ------
```

```
void run_wf(WaveFunction& wf_0, Hamiltonian& H, double dt, BGconfig& config, bool fidelity_mode = false) {
Matrix U = getU(&H, dt);
// #if DEBUG
// U.write_to_file(config.U_csv(), config.precision());
// #endif
File f(config.z_csv());
f.erase();
f.open("w");
vector<double> diag_;
map<std::string, double> p_bin;
vector<double> v_bin;
Complexd alpha = cONE;
Complexd beta = cZERO;
vector<double> z_0;
vector<double> z_1;
vector<double> FIDELITY;
vector<double> FIDELITY_SMALL;
WaveFunction wf_t(wf_0);
double dt_ = config.nt() / (config.T() / 1e-6) / 20000 * 1000;
int nt_ = int(config.nt() / dt_);
// H.states();
int ind_0 = -1, ind_1 = -1;
for (auto k : *H.states()) {
if (k.second == make_pair(0, (H.cavity())->n())) {
ind_0 = k.first;
} else if (k.second == make_pair((H.cavity())->n(), 0)) {
ind_1 = k.first;
}
}
for (int i = 0; i <= config.nt(); i++) {</pre>
if (fidelity_mode) {
double fidelity_t = fidelity_wf(&wf_0, &wf_t);
FIDELITY.push_back(fidelity_t);
if (i % nt_ == 0) {
FIDELITY_SMALL.push_back(fidelity_t);
}
}
double diag_norm = wf_t.norm();
diag_ = wf_t.diag();
if (abs(1 - diag_norm) > 0.1) {
cout << "Not normed" << endl;</pre>
cout << "i = " << i << ", " << diag_norm << endl;</pre>
string cmd = "if [ -d '" + config.path() + "' ]; then rm -r " + config.path() + "; fi";
int _sys = system(cmd.c_str());
```

```
exit(1);
// if (config.T() > 0.5 * config.mks()) {
// if (i % nt_ == 0) {
// f.write(diag_, config.precision());
// }
// } else {
// f.write(diag_, config.precision());
// }
z_0.push_back(diag_[ind_0]);
z_1.push_back(diag_[ind_1]);
GEMV(&U, &wf_t, &wf_t, H.queue(), &alpha, &beta, 'N', 'N');
f.close();
// -----
vector<std::string> st;
for (auto k : *H.states()) {
std::stringstream ss;
if (k.second == make_pair(0, H.cavity()->n()) \mid | k.second == make_pair(H.cavity()->n(), 0)) {
ss << "[" << k.second.first << ", " << k.second.second << "]";
} else {
ss << "";
}
st.push_back(ss.str());
write_states(config.x_csv(), st);
write_t(config.t_csv(), T_str_v(config.T()), config.nt());
File z_0_{csv}(config.path() + "/z_0.csv");
z_0_csv.open("w");
z_0_csv.writeln("fidelity");
for (size_t i = 0; i < z_0.size(); i++) {
z_0_{csv.writeln}(z_0[i], config.precision());
z_0_csv.close();
File z_1_csv(config.path() + "/z_1.csv");
z_1_csv.open("w");
z_1_csv.writeln("fidelity");
for (size_t i = 0; i < z_1.size(); i++) {</pre>
z_1_csv.writeln(z_1[i], config.precision());
z_1_csv.close();
if (fidelity_mode) {
File f_fid_csv(config.fid_csv());
f_fid_csv.open("w");
```

Список литературы

- [1] Х. Бройер, Ф. Петруччионе, Теория открытых квантовых систем, 2010.
- [2] Y.I. Ozhigov, N.A. Skovoroda, Conductivity measurements in JCH like models, 2018.
- [3] Y.I. Ozhigov, N.A. Skovoroda, Dark states of atomic ensembles, 2015.
- [4] Y.I. Ozhigov, Space of dark states in Tavis-Cummings model, 2018.
- [5] http://icl.cs.utk.edu/projectsfiles/magma/doxygen/